

## VII. ZAGADNIENIA DYNAMIKI

### 1. Równanie ruchu dla zagadnienia dynamicznego

$$\mathbf{M} \cdot \ddot{\mathbf{q}} + \mathbf{C} \cdot \dot{\mathbf{q}} + \mathbf{K} \cdot \mathbf{q} = \mathbf{Q}, \quad (7.1)$$

gdzie

$\mathbf{M}_{N \times N}$  – macierz mas,

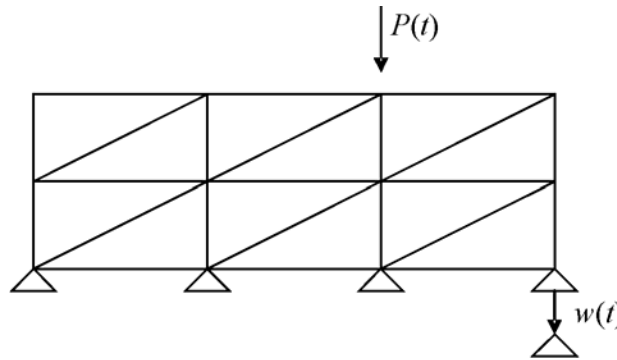
$\mathbf{C}_{N \times N}$  – macierz tłumienia,

$\mathbf{K}_{N \times N}$  – macierz sztywności,

$\mathbf{q}_{N \times 1}$  – wektor przemieszczeń uogólnionych-wektor parametrów,

$\mathbf{Q}_{N \times 1}$  – wektor wymuszających sił uogólnionych,

$N$  – liczba stopni swobody.



Rys. 7.1

Jeżeli układ poddany jest wymuszeniom kinematycznym to zagadnienie również można sprowadzić do równania wyjściowego.

W tym celu rozkładamy wektor parametrów przemieszczeń  $\tilde{\mathbf{q}}$  na:

$\mathbf{q}$  – wektor parametrów przemieszczeniowych o poszukiwanych wartościach (przemieszczenia nieznane)

$\mathbf{z}$  – wektor parametrów przemieszczeniowych o zadanych przemieszczeniach (wymuszenie kinematyczne).

Niech  $\tilde{\mathbf{q}} = \begin{Bmatrix} \mathbf{q} \\ \mathbf{z} \end{Bmatrix}$  oraz  $\tilde{\mathbf{Q}} = \begin{Bmatrix} \mathbf{Q} \\ \mathbf{R} \end{Bmatrix}$

gdzie:  $\mathbf{R}$  jest reakcje na zadanych wymuszeniach kinematycznych.

Wówczas układ równań wyjściowy:

$$\tilde{\mathbf{M}} \cdot \ddot{\tilde{\mathbf{q}}} + \tilde{\mathbf{C}} \cdot \dot{\tilde{\mathbf{q}}} + \tilde{\mathbf{K}} \cdot \tilde{\mathbf{q}} = \tilde{\mathbf{Q}}, \quad (7.2)$$

po dekompozycji

$$\begin{bmatrix} \mathbf{M} & \mathbf{M}'' \\ \mathbf{M}''^T & \mathbf{M}' \end{bmatrix} \begin{Bmatrix} \ddot{\mathbf{q}} \\ \ddot{\mathbf{z}} \end{Bmatrix} + \begin{bmatrix} \mathbf{C} & \mathbf{C}'' \\ \mathbf{C}''^T & \mathbf{C}' \end{bmatrix} \begin{Bmatrix} \dot{\mathbf{q}} \\ \dot{\mathbf{z}} \end{Bmatrix} + \begin{bmatrix} \mathbf{K} & \mathbf{K}'' \\ \mathbf{K}''^T & \mathbf{K}' \end{bmatrix} \begin{Bmatrix} \mathbf{q} \\ \mathbf{z} \end{Bmatrix} = \begin{Bmatrix} \mathbf{Q} \\ \mathbf{R} \end{Bmatrix}, \quad (7.3)$$

po rozpisaniu

$$\begin{aligned} \mathbf{M}\ddot{\mathbf{q}} + \mathbf{C}\dot{\mathbf{q}} + \mathbf{K}\mathbf{q} &= \mathbf{Q} - \mathbf{M}''\ddot{\mathbf{z}} - \mathbf{C}''\dot{\mathbf{z}} - \mathbf{K}''\mathbf{z} \\ \mathbf{R} &= \mathbf{M}''^T\ddot{\mathbf{q}} + \mathbf{M}'\ddot{\mathbf{z}} + \mathbf{C}''^T\dot{\mathbf{q}} + \mathbf{C}'\dot{\mathbf{z}} + \mathbf{K}''^T\mathbf{q} + \mathbf{K}'\mathbf{z} \end{aligned} \quad (7.4)$$

jeżeli oznaczyć

$$\mathbf{b} = \mathbf{Q} - \mathbf{M}''\ddot{\mathbf{z}} - \mathbf{C}''\dot{\mathbf{z}} - \mathbf{K}''\mathbf{z} \quad (7.5)$$

wówczas

$$\mathbf{M} \cdot \ddot{\mathbf{q}} + \mathbf{C} \cdot \dot{\mathbf{q}} + \mathbf{K} \cdot \mathbf{q} = \mathbf{b}. \quad (7.6)$$

Po wyznaczeniu  $\mathbf{q}$  wyznaczamy  $\mathbf{R}$  z drugiego z równań powyżej (reakcje w więzach).

## 2. Podział zagadnień dynamicznych

### 1. Zagadnienie liniowe - drgania liniowe

$\mathbf{M}$ ,  $\mathbf{C}$ ,  $\mathbf{K}$  są stałe niezależnie od  $\mathbf{q}$  i  $\dot{\mathbf{q}}$ ,

$$\mathbf{M} \cdot \ddot{\mathbf{q}} + \mathbf{C} \cdot \dot{\mathbf{q}} + \mathbf{K} \cdot \mathbf{q} = \mathbf{b}(t). \quad (7.7)$$

### 2. Zagadnienie liniowe - drgania liniowe parametryczne

$\mathbf{M}(t)$ ,  $\mathbf{C}(t)$ ,  $\mathbf{K}(t)$  są jawnymi funkcjami czasu, niezależne od  $\mathbf{q}$  i  $\dot{\mathbf{q}}$ ,

$$\mathbf{M}(t) \cdot \ddot{\mathbf{q}} + \mathbf{C}(t) \cdot \dot{\mathbf{q}} + \mathbf{K}(t) \cdot \mathbf{q} = \mathbf{b}(t). \quad (7.8)$$

### 3. Zagadnienie nieliniowe - drgania nieliniowe

$\mathbf{M}$ ,  $\mathbf{C}$ ,  $\mathbf{K}$  zależą od czasu  $t$ ,  $\mathbf{q}$  i  $\dot{\mathbf{q}}$ ,

$$\mathbf{M}(\dot{\mathbf{q}}, \mathbf{q}, t) \cdot \ddot{\mathbf{q}} + \mathbf{C}(\dot{\mathbf{q}}, \mathbf{q}, t) \cdot \dot{\mathbf{q}} + \mathbf{K}(\dot{\mathbf{q}}, \mathbf{q}, t) \cdot \mathbf{q} = \mathbf{b}(\dot{\mathbf{q}}, \mathbf{q}, t). \quad (7.9)$$

### 4. Zagadnienie własne

$$\mathbf{b} \equiv 0,$$

$$\mathbf{M} \cdot \ddot{\mathbf{q}} + \mathbf{C} \cdot \dot{\mathbf{q}} + \mathbf{K} \cdot \mathbf{q} = \mathbf{0}, \quad (7.10)$$

– różne warianty równania dla zagadnienia własnego.

## 3. Zagadnienie własne - problem matematyczny

Standardowe zagadnienie własne – jest to rozwiązanie liniowego jednorodnego układu równań postaci

$$(\mathbf{A} - \mathbf{I} \cdot \lambda) \mathbf{x} = \mathbf{0}, \quad (7.11)$$

gdzie  $\mathbf{A}$ ,  $\mathbf{I}$  – macierze  $N \times N$ ;  $\mathbf{x}$  – wektor o wymiarze  $N$ .

Mamy nietrywialne rozwiązanie, jeżeli

$$\det(\mathbf{A} - \mathbf{I} \cdot \lambda) = 0, \quad (7.12)$$

co prowadzi do wielomianowego równania  $N$ -tego stopnia

$$\lambda^N + a_{N-1}\lambda^{N-1} + \dots + a_1\lambda + a_0 = 0. \quad (7.13)$$

Jeżeli macierz  $\mathbf{A}$  jest dodatnio określona (tzn.:  $\mathbf{x}^T \mathbf{A} \mathbf{x} > 0$  dla dowolnego  $\mathbf{x}$ ) to wszystkie pierwiastki są rzeczywiste i dodatnie:

$$\lambda_1, \lambda_2, \dots, \lambda_N. \quad (7.14)$$

Po wstawieniu do r-nia wyjściowego każdego z  $\lambda_i$ , oraz przyjęciu jednej z niewiadomych np.  $x_1=1$  obliczamy pozostałe  $x_j \rightarrow$  otrzymujemy kolejno wektory własne:  $\mathbf{x}^1, \mathbf{x}^2, \dots, \mathbf{x}^N$ .

Wektory własne obliczane są z dokładnością do stałego mnożnika.

#### 4. Zagadnienie własne liniowego układu dynamicznego bez tłumienia

Rozważamy drgania swobodne układu liniowego bez tłumienia:  $\mathbf{C} \equiv 0$ ,  $\mathbf{b} \equiv 0$ , wówczas równanie ruchu ma postać

$$\mathbf{M} \cdot \ddot{\mathbf{q}} + \mathbf{K} \cdot \mathbf{q} = \mathbf{0}. \quad (7.15)$$

Rozwiązanie przyjmujemy w postaci

$$\mathbf{q} = \mathbf{q}^0 \cdot e^{j\omega_0 t} \quad - \text{ jest to opis drgań harmoniczych,} \quad (7.16)$$

gdzie  $\mathbf{q}^0$  - wektor amplitud przemieszczeń,

$\omega_0$  - częstość drgań własnych,

$j = \sqrt{-1}$  liczba urojona.

Formalnie powyższe równanie można interpretować jako złożenie dwóch ortogonalnych drgań typu  $\sin\omega_0 t$  i  $\cos\omega_0 t$ .

Po podstawieniu do równania wyjściowego:

$$(\mathbf{K} - \mathbf{M}\omega_0^2)\mathbf{q}^0 = \mathbf{0}. \quad (7.17)$$

Aby doprowadzić do standardowego zagadnienia własnego, macierz  $\mathbf{M}$  rozkładamy na:

$$\mathbf{M} = \mathbf{L}^T \mathbf{L}, \quad (7.18)$$

gdzie  $\mathbf{L}$  - macierz górno-trójkątna,

$$\begin{array}{ccc} (\mathbf{K} - \mathbf{L}^T \mathbf{L} \omega_0^2) & \mathbf{q}^0 & = \mathbf{0} \\ \uparrow & \uparrow & \\ \mathbf{L}^{-T} & \mathbf{L}^{-1} \cdot \mathbf{L} & \end{array} \quad (7.19)$$

stąd

$$\underbrace{(\mathbf{L}^{-T} \cdot \mathbf{K} \cdot \mathbf{L}^{-1})}_{\mathbf{A}} - \underbrace{\mathbf{I}}_{\lambda} \cdot \underbrace{\omega_0^2}_{\mathbf{x}^0} = \mathbf{0} \quad (7.20)$$

$$(\mathbf{A} - \mathbf{I} \cdot \lambda) \mathbf{x}^0 = \mathbf{0}. \quad (7.21)$$

Powyższe równanie jest standardowym zagadnieniem własnym.

Po rozwiązaniu równania

$$\det(\mathbf{A} - \mathbf{I} \cdot \lambda) = 0, \quad (7.22)$$

otrzymujemy  $\lambda_i = \omega_{0i}^2 \quad i = 1, 2, \dots, N$  – częstości własne,

oraz  $\mathbf{x}_i^0 \rightarrow \mathbf{q}_i^0 = \mathbf{L}^{-1} \mathbf{x}_i^0 \quad i = 1, 2, \dots, N$  – wektory własne.

Zwykle przyjmujemy macierz mas jako niekonsystentną, tzn. masy koncentrujemy w węzłach, wówczas:

$$\mathbf{M} = \text{diag} (M_i) \quad (7.23)$$

stąd  $\mathbf{L} = \text{diag} (\sqrt{M_i})$ ,

$$\text{oraz} \quad \mathbf{q}_i^0 = \left\{ \frac{x_1^0}{\sqrt{M_1}}, \frac{x_2^0}{\sqrt{M_2}}, \dots, \frac{x_N^0}{\sqrt{M_N}} \right\}.$$

## 5. Normowanie wektora własnego $\mathbf{q}^0$

Wektory własne otrzymuje się z dokładnością do stałego mnożnika. Często dokonuje się odpowiedniego skalowania:

Sposób 1 - ograniczenie współrzędnych wektora.

Przyjmuje się, że max współrzędna wektora  $q_\alpha^0$  będzie równa 1, stąd unormowany wektor

$$\mathbf{q}_n^0 = \frac{1}{q_\alpha^0} \mathbf{q}^0. \quad (7.24)$$

Sposób 2 - ortonormalizacja.

Dobiera się mnożnik tak, aby norma  $\|\mathbf{q}_n^0\| = 1$ , stąd

$$\mathbf{q}_n^0 = \frac{\mathbf{q}^0}{\|\mathbf{q}^0\|} = \frac{\mathbf{q}^0}{\sqrt{\mathbf{q}_0^T \mathbf{q}^0}} = \frac{\mathbf{q}^0}{\sqrt{\sum_{i=1}^N (q_i^0)^2}}. \quad (7.25)$$

Sposób 3 - M-ortonormalizacja

Jest to normalizacja z wagą macierzy bezwładności

$$\mathbf{q}_n^0 = \frac{\mathbf{q}^0}{\sqrt{\mathbf{q}^{0T} \cdot \mathbf{M} \cdot \mathbf{q}^0}} = \frac{\mathbf{q}^0}{\sqrt{\sum_{i=1}^N \sum_{j=1}^N M_{ij} q_i^0 q_j^0}} = \frac{\mathbf{q}^0}{\sqrt{\sum_{i=1}^N M_i (q_i^0)^2}}. \quad (7.26)$$

gdzie ostatnia prawa strona (26) dotyczy niekonsystentnej macierzy mas  $\mathbf{M}$ .

## 6. Do czego służy analiza zagadnienia własnego?

1. Opisuje drgania swobodne konstrukcji.
2. Z widma częstości drgań własnym możemy wyciągnąć szereg wniosków co do zachowania się konstrukcji pod wpływem obciążeń o charakterze harmonicznym.
3. Problem rezonansu.
4. Znajomość form i częstości własnych pozwala na wykonanie analizy modalnej, tzn. rozseparowanie zagadnienia względem tzw. współrzędnych modalnych (będzie to omówione dalej).

Uwaga: wektory własne są względem siebie ortogonalne – z wagą  $\mathbf{M}$

$$\mathbf{q}_i^0 \cdot \mathbf{M} \cdot \mathbf{q}_j^0 = 0 \quad \text{dla} \quad i \neq j. \quad (7.27)$$

## 7. Zagadnienie własne układów dynamicznych tłumionych

Drgania swobodne układu tłumionego

$$\mathbf{M} \cdot \ddot{\mathbf{q}} + \mathbf{C} \cdot \dot{\mathbf{q}} + \mathbf{K} \cdot \mathbf{q} = \mathbf{0}. \quad (7.28)$$

Rozwiązanie otrzymuje się w dziedzinie liczb zespolonych.

Wprowadza się nowe współrzędne: współrzędne stanu

$$\mathbf{y} = \begin{Bmatrix} \dot{\mathbf{q}} \\ \mathbf{q} \end{Bmatrix} \stackrel{\text{ozn}}{=} \begin{Bmatrix} \mathbf{y}_1 \\ \mathbf{y}_2 \end{Bmatrix}. \quad (7.29)$$

Po podstawieniu do równania wyjściowego mamy

$$\mathbf{M} \cdot \dot{\mathbf{y}}_1 + \mathbf{C} \cdot \mathbf{y}_1 + \mathbf{K} \cdot \mathbf{y}_2 = \mathbf{0} \quad \left| \mathbf{M}^{-1} \text{ lewostronnie} \right. \quad (7.30)$$

$$\begin{cases} \dot{\mathbf{y}}_1 + \mathbf{M}^{-1} \cdot \mathbf{C} \cdot \mathbf{y}_1 + \mathbf{M}^{-1} \cdot \mathbf{K} \cdot \mathbf{y}_2 = \mathbf{0} \\ \dot{\mathbf{y}}_2 - \mathbf{y}_1 = \mathbf{0} \end{cases} \quad (7.31)$$

$$\text{stąd} \quad \begin{Bmatrix} \dot{\mathbf{y}}_1 \\ \dot{\mathbf{y}}_2 \end{Bmatrix} + \begin{bmatrix} \mathbf{M}^{-1}\mathbf{C} & \mathbf{M}^{-1}\mathbf{K} \\ \mathbf{I} & \mathbf{0} \end{bmatrix} \begin{Bmatrix} \mathbf{y}_1 \\ \mathbf{y}_2 \end{Bmatrix} = \mathbf{0}, \quad (7.32)$$

a korzystając z oznaczenia (29) mamy

$$\dot{\mathbf{y}} + \mathbf{V} \cdot \mathbf{y} = \mathbf{0}. \quad (7.33)$$

Rozwiązania poszukuje się w postaci

$$\mathbf{y} = \mathbf{y}^0 e^{\lambda t}, \quad (7.34)$$

gdzie:  $\mathbf{y}^0$  - wektor zespolony,  $\lambda$  - liczba zespolona.

Po podstawieniu mamy

$$(\mathbf{V} - \mathbf{I} \cdot \lambda) \mathbf{y}^0 = \mathbf{0}, \quad (7.35)$$

stąd wartości własne otrzymuje się z równania

$$\det(\mathbf{V} - \mathbf{I} \cdot \lambda) = 0. \quad (7.36)$$

Sposób ten jest bardzo pracochłonny.

## 8. Zagadnienia dynamiczne nieustalone

Analiza zagadnienia dynamicznego przy wymuszeniu siłowym.

Problem rozwiązania równania

$$\mathbf{M} \cdot \ddot{\mathbf{q}} + \mathbf{C} \cdot \dot{\mathbf{q}} + \mathbf{K} \cdot \mathbf{q} = \mathbf{b}. \quad (7.37)$$

Pokazane będą dwa sposoby rozwiązania:

- poprzez całkowanie numeryczne,
- poprzez analizę modalną.

## 9. Całkowanie numeryczne „krok po kroku”

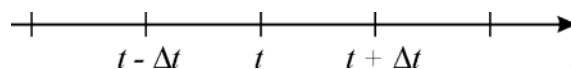
Istnieje wiele metod całkowania bezpośredniego równań ruchu.

Bazują one na następujących założeniach:

1. Przedział czasu dzielimy na odcinki  $\Delta t$  – z reguły odcinki stałe.
2. Równanie ruchu jest spełnione na granicach tych odcinków, czyli w punktach  $t = k \cdot \Delta t$  ( $k = 1, 2, 3, \dots$ ).
3. Zakłada się arbitralnie określoną zmienną: przemieszczenia, prędkości i przyspieszenia na odcinku czasu  $(k-1) \cdot \Delta t, k \cdot \Delta t$ .

## 10. Całkowanie metodą różnic skończonych

Punktem startu wielu metod jest uogólniona metoda różnic skończonych (na osi czasu)



Rys. 7.2

Macierzowe równanie ruchu zastępujemy równaniem różnicowym:

$$\begin{aligned} \mathbf{M} \left[ \frac{\mathbf{q}_{t-\Delta t} - 2\mathbf{q}_t + \mathbf{q}_{t+\Delta t}}{\Delta t^2} \right] + \mathbf{C} \left[ \frac{\mathbf{q}_{t-\Delta t} - \mathbf{q}_{t+\Delta t}}{2\Delta t} \right] + \mathbf{K} [(1 - \beta_1 - \beta_2) \mathbf{q}_t + \beta_1 \mathbf{q}_{t-\Delta t} + \beta_2 \mathbf{q}_{t+\Delta t}] = \\ = (1 - \gamma_1 - \gamma_2) \mathbf{b}_t + \gamma_1 \mathbf{b}_{t-\Delta t} + \gamma_2 \mathbf{b}_{t+\Delta t} \end{aligned} \quad (7.38)$$

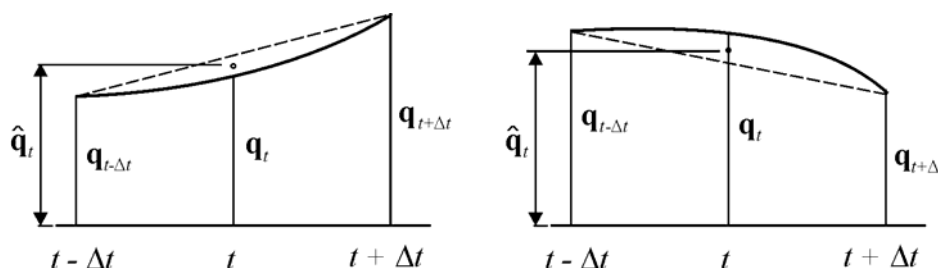
gdzie  $\beta_1, \beta_2, \gamma_1, \gamma_2$  – stałe dodatnie,

$$\beta_1 > 0, \quad \beta_2 > 0, \quad \beta_1 + \beta_2 < 1, \quad \gamma_1 > 0, \quad \gamma_2 > 0, \quad \gamma_1 + \gamma_2 < 1.$$

Komentarz:

- pochodne po czasie  $\ddot{\mathbf{q}}_t$  i  $\dot{\mathbf{q}}_t$  występujące przy macierzach  $\mathbf{M}$  i  $\mathbf{C}$  są standardowymi schematami różnicowymi,
- natomiast  $\mathbf{q}_t$  i  $\mathbf{b}_t$  są przedstawione za pomocą wartości centralnej i wartości w punktach sąsiednich, schematy te zawierają stałe które mają na celu stabilizację procesu iteracyjnego wprowadzając sztuczne tłumienie,
- dla  $\beta_1 = \beta_2 \Rightarrow \hat{\mathbf{q}}_t = (1 - 2\beta) \mathbf{q}_t + \beta \mathbf{q}_{t-\Delta t} + \beta \mathbf{q}_{t+\Delta t}$
- ponieważ  $2\beta < 1$  wówczas dla zadanych  $\mathbf{q}_t, \mathbf{q}_{t-\Delta t}, \mathbf{q}_{t+\Delta t}$  wartość aproksymowana  $\hat{\mathbf{q}}_t < \mathbf{q}_t$

$$\hat{\mathbf{q}}_t \in \left( \mathbf{q}_t, \frac{1}{2}(\mathbf{q}_{t+\Delta t} + \mathbf{q}_{t-\Delta t}) \right),$$



Rys. 7.3

Schemat różnicowy (1) aproksymuje równanie ruchu z błędem  $O(\Delta t)$  dla  $\beta_1 \neq \beta_2$  oraz  $O(\Delta t^2)$  dla  $\beta_1 = \beta_2$ .

Uwaga: błąd  $O(h^n)$  jest to funkcja dla której

$$\lim_{h \rightarrow 0} \frac{O(h^n)}{h^{n-1}} = 0.$$

Analiza stabilności schematów różnicowych prowadzi do warunków na bezwarunkową stabilność procesu

$$0.5(\beta_1 + \beta_2) \geq 0.25 \quad \text{i} \quad \beta_1 \geq \beta_2. \quad (7.39)$$

W przypadku drgań swobodnych  $\mathbf{C} \equiv 0$  warunek zapisuje się w postaci

$$[0.5(\beta_1 + \beta_2) - 0.25] \Delta t^2 \omega_k^2 - 1 > 0, \quad (7.40)$$

wynika stąd, że stabilność limitowana jest częstotliwością  $\omega_k$ , im większa wartość częstotliwości tym krok czasowy  $\Delta t$  musi być mniejszy.

Algorytm całkowania:

1. określenie parametrów  $\beta_1, \beta_2, \gamma_1, \gamma_2, \Delta t$ ,
2. określenie wartości startowych wektor parametrów  $\mathbf{q}_0, \dot{\mathbf{q}}_0$ ,
3. z równania (38) wyznaczamy  $\mathbf{q}_{t+\Delta t}$  dla  $t = \Delta t, 2\Delta t, \dots$

## 11. Metoda Newmarka

Jest to metoda najbardziej popularna. Jest metodą niejawną.

Równanie ruchu w chwili:  $t + \Delta t$

$$\mathbf{M} \cdot \ddot{\mathbf{q}}_{t+\Delta t} + \mathbf{C} \cdot \dot{\mathbf{q}}_{t+\Delta t} + \mathbf{K} \cdot \mathbf{q}_{t+\Delta t} = \mathbf{b}_{t+\Delta t} \quad (7.41)$$

Prędkość na końcu kroku

$$\dot{\mathbf{q}}_{t+\Delta t} = \dot{\mathbf{q}}_t + \underbrace{[(1+\beta) \cdot \ddot{\mathbf{q}}_t + \beta \cdot \ddot{\mathbf{q}}_{t+\Delta t}]}_{\text{ pewne uśrednione przyśpieszenie na odcinku } (t, t+\Delta t)} \Delta t \quad (7.42)$$

prędkość na pocz. kroku      pewne uśrednione przyśpieszenie na odcinku  $(t, t + \Delta t)$

↓  
dla  $\beta = 0.5 \rightarrow$  średnia arytmetyczna tzn. liniowy rozkład przyśpieszenia

Podobnie szacujemy przem. na końcu kroku

$$\mathbf{q}_{t+\Delta t} = \mathbf{q}_t + \dot{\mathbf{q}}_t \Delta t + \underbrace{[(0.5 - \alpha) \ddot{\mathbf{q}}_t + \alpha \ddot{\mathbf{q}}_{t+\Delta t}]}_{\text{ pewne uśrednione przyśpieszenie na odcinku } (t, t+\Delta t)} \Delta t^2 \quad (7.43)$$

przemieszczenie na pocz. kroku      prędkość na pocz. kroku      pewne uśrednione przyśpieszenie na odcinku  $(t, t+\Delta t)$

Dla  $\alpha=1/6$  powyższy wzór odpowiada przyjęciu liniowego rozkładu przemieszczenia na kroku czasowym.

Z aproksymacji (42) i (43) wyznaczyć można  $\ddot{\mathbf{q}}_{t+\Delta t}$  i  $\dot{\mathbf{q}}_{t+\Delta t}$  jako funkcje na początku kroku:

$$\left. \begin{aligned} \ddot{\mathbf{q}}_{t+\Delta t} &= \frac{1}{\alpha \Delta t^2} \left[ \mathbf{q}_{t+\Delta t} - \mathbf{q}_t - \dot{\mathbf{q}}_t \Delta t - \Delta t^2 (0.5 - \alpha) \ddot{\mathbf{q}}_t \right] \\ \dot{\mathbf{q}}_{t+\Delta t} &= \frac{\beta}{\alpha \Delta t} (\mathbf{q}_{t+\Delta t} - \mathbf{q}_t) - \left( 1 - \frac{\beta}{\alpha} \right) \dot{\mathbf{q}}_t - \Delta t \left( 1 - \frac{\beta}{2\alpha} \right) \ddot{\mathbf{q}}_t \end{aligned} \right\} \quad (7.44)$$

Wstawiając (5) do (2) otrzymujemy:

$$\left[ \frac{1}{\alpha \Delta t^2} \mathbf{M} + \frac{\beta}{\alpha \Delta t} \mathbf{C} + \mathbf{K} \right] \mathbf{q}_{t+\Delta t} = \mathbf{b}_{t+\Delta t} + \mathbf{M} \left[ \frac{1}{\alpha \Delta t^2} \mathbf{q}_t + \frac{1}{\alpha \Delta t} \dot{\mathbf{q}}_t + \left( \frac{1}{2\alpha} - 1 \right) \ddot{\mathbf{q}}_t \right] + \mathbf{C} \left[ \frac{\beta}{\alpha \Delta t} \mathbf{q}_t + \left( \frac{\beta}{\alpha} - 1 \right) \dot{\mathbf{q}}_t + \Delta t \left( \frac{\beta}{2\alpha} - 1 \right) \ddot{\mathbf{q}}_t \right] \quad (7.45)$$

stąd znając wartości na początku kroku:  $\ddot{\mathbf{q}}_t$ ,  $\dot{\mathbf{q}}_t$ ,  $\mathbf{q}_t$  można wyznaczyć  $\mathbf{q}_{t+\Delta t}$ .

Metoda ta jest bezwarunkowo stabilna dla

$$\beta \geq 0,5 \quad \text{ i } \quad \alpha \geq 0,25(\beta+0,5)^2,$$

zwykle przyjmuje się  $\beta=0,5$  oraz  $\alpha=0,25$ .



## 12. Metoda modalna

Wektory własne  $\mathbf{q}_i^0$  ( $i=1,2,\dots,N$ ) nie są do siebie ortogonalne, a w takim razie nie są wygodną bazą szukanego rozwiązania drgań nieustalonych.

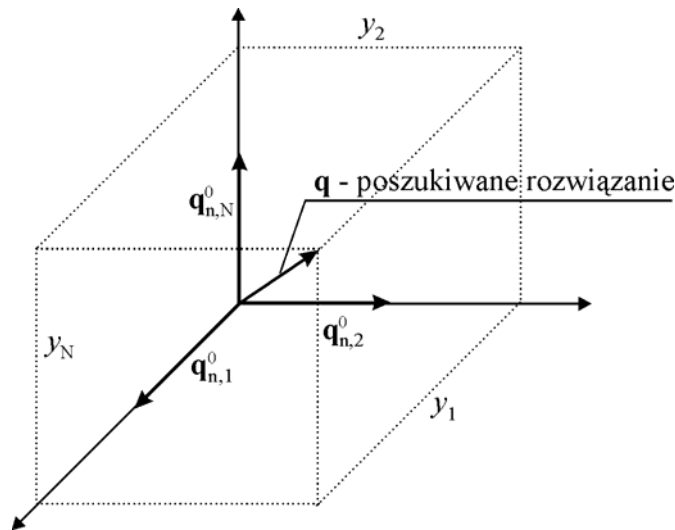
Natomiast wektory własne M-ortonormalizowane są ortogonalne i stanowią właściwą bazę. Poszukujemy rozwiązania drgań nieustalonych w postaci

$$\mathbf{q}(t) = \Phi \cdot \mathbf{y}(t) \quad (7.46)$$

gdzie:  $\Phi = [\mathbf{q}_{n,1}^0, \mathbf{q}_{n,2}^0, \dots, \mathbf{q}_{n,N}^0]$  jest macierzą  $N \times N$  M-ortonormalnych wektorów własnych.

Niech

$$\mathbf{y}(t) = \begin{Bmatrix} y_1 \\ y_2 \\ \vdots \\ y_N \end{Bmatrix} \quad \text{jest wektorem przemieszczeń we współrzędnych modalnych}$$



Rys. 7.4. Przestrzeń wektorów modalnych

Macierz tłumienia przyjmujemy w postaci  $\mathbf{C} = \alpha_1 \mathbf{M} + \alpha_2 \mathbf{K}$  – model tłumienia Rayleigha.

Po podstawieniu (46) do równania ruchu oraz pomnożeniu lewostronnym przez  $\Phi^T$ , mamy

$$\underbrace{\Phi^T \mathbf{M} \Phi}_{\mathbf{I}} \ddot{\mathbf{y}} + \underbrace{\Phi^T \mathbf{C} \Phi}_{\alpha_1 \mathbf{I} + \alpha_2 \mathbf{\Omega}} \dot{\mathbf{y}} + \underbrace{\Phi^T \mathbf{K} \Phi}_{\mathbf{\Omega}} \mathbf{y} = \underbrace{\Phi^T \mathbf{b}}_{\mathbf{b}^*} \quad (7.47)$$

stąd

$$\ddot{\mathbf{y}} + (\alpha_1 \mathbf{I} + \alpha_2 \mathbf{\Omega}) \dot{\mathbf{y}} + \mathbf{\Omega} \mathbf{y} = \mathbf{b}^*, \quad (7.48)$$

gdzie  $\mathbf{\Omega} = \text{diag}(\omega_{0j}^2)$ .

Macierzowe równanie (2) separuje się na  $N$  zwyczajnych równań różniczkowych

$$\ddot{y}_j + (\alpha_1 + \alpha_2 \omega_{0j}^2) \dot{y}_j + \omega_{0j}^2 y_j = b_j^* \quad \text{dla} \quad j=1,2,\dots,N. \quad (7.49)$$

Warunki brzegowe  $\dot{\mathbf{q}}(0), \mathbf{q}(0)$  we współrzędnych modalnych zapisują się w postaci

$$\begin{cases} \mathbf{y}(0) = \mathbf{\Phi}^T \mathbf{M} \mathbf{q}(0) \\ \dot{\mathbf{y}}(0) = \mathbf{\Phi}^T \mathbf{M} \dot{\mathbf{q}}(0) \end{cases} \quad (7.50)$$

Po rozwiązaniu równań (49) z war. brzegowymi (50) otrzymuje się rozwiązanie jako superpozycję rozwiązań cząstkowych

$$\mathbf{q}(t) = \sum_{j=1}^N (\mathbf{q}_{n_j}^0 \cdot y_j). \quad (7.51)$$

Metoda modalna jest bardzo efektywna, szybka. Jeżeli znamy fizykę badanego zjawiska, to możemy ograniczyć liczbę branych pod uwagę wektorów własnych.